

УДК 537. 534

Ф. Ф. УМАРОВ<sup>1</sup>, Ш. Ш. САРСЕМБИНОВ<sup>2</sup>, К. М. МУКАШЕВ<sup>3</sup>, Н. Н. БАЗАРБАЕВ<sup>1</sup>

## ОСОБЕННОСТИ ЭНЕРГЕТИЧЕСКИХ СПЕКТРОВ ИОНОВ НИЗКИХ ЭНЕРГИЙ, РАССЕЯННЫХ ПОВЕРХНОСТЯМИ ПОЛИКРИСТАЛЛОВ

Экспериментально исследовано рассеяние низкоэнергетических ионов Cs<sup>+</sup> ( $E_0 = 30 \div 500$  еВ) на поликристаллических поверхностях Ta, W, Re и рассеяние ионов K<sup>+</sup> на поликристаллических поверхностях Ti, V, Cr в целях выявления механизма рассеяния ионов низких энергий и выяснение возможности его использования для анализа поверхностных слоев.

Интерес к исследованию взаимодействия ионов низких энергий с поверхностью твердого тела обусловлен как развитием методов диагностики поверхности ионными пучками, так и развитием технологий процессов ионной имплантации, эпитаксии, ионно-плазменного осаждения, а также необходимостью более полного понимания механизмов явлений и процессов, сопровождающих взаимодействие ион–поверхность [1–3].

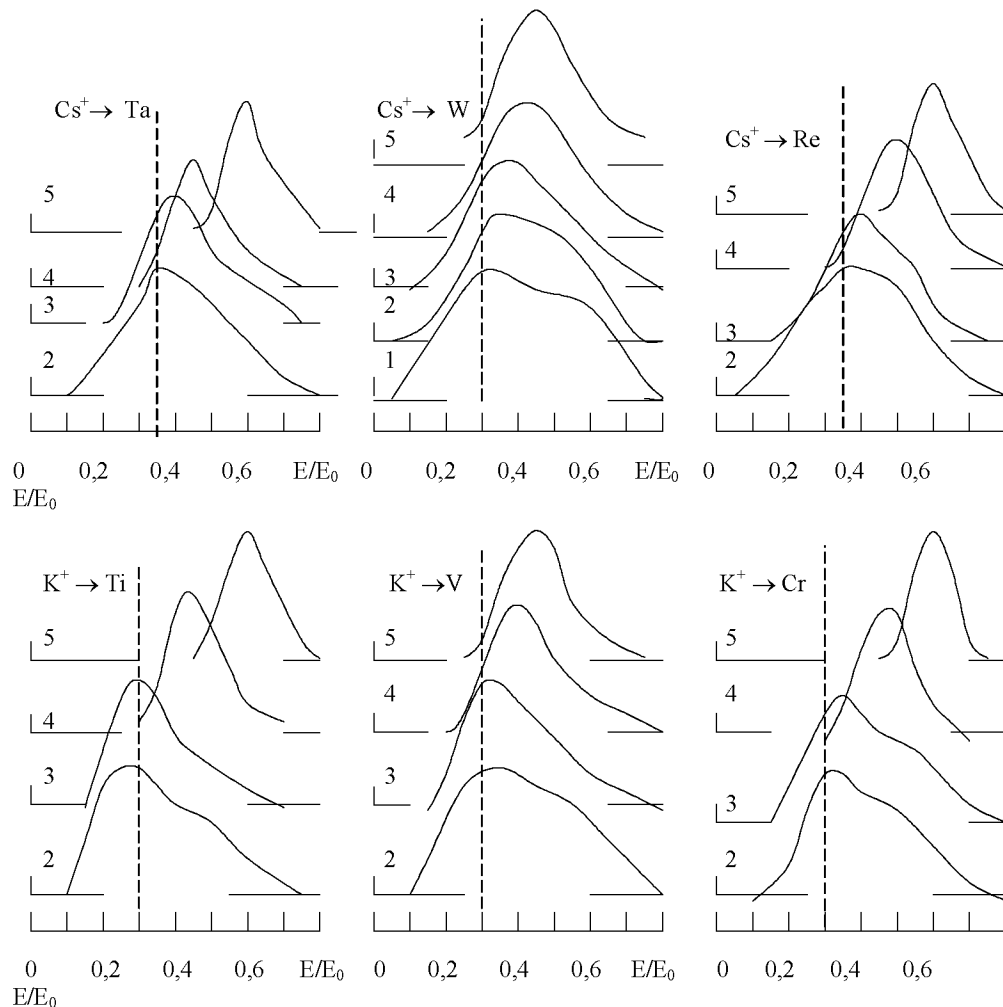
В представленной статье экспериментально исследовано рассеяние ионов Cs<sup>+</sup> на поверхностях Ta, W, Re и ионов K<sup>+</sup> на поверхностях Ti, V, Cr при низких начальных энергиях ионов ( $E_0 = 80 \div 500$  эВ) для уточнения механизма рассеяния в целях возможности использования рассеяния медленных ионов для анализа поверхностных слоев материалов. Выбор материала мишени обусловлен тем, что соотношения масс сталкивающихся частиц  $\mu = m_2/m_1$  для обеих троек мишени примерно равны ( $\mu$  – отношение массы атома мишени  $m_2$  к массе иона  $m_1$ ), а энергии связи атомов мишени различаются. Углы падения  $\psi = 55^\circ$  и рассеяния  $\theta = 70^\circ$  соответствовали условию зеркального отражения. На рис. 1 представлены измеренные дифференциальные энергетические спектры рассеянных ионов для пар Cs<sup>+</sup>→Ta ( $\mu \approx 1,36$ ), Cs<sup>+</sup>→W ( $\mu \approx 1,38$ ), Cs<sup>+</sup>→Re ( $\mu = 1,40$ ) и K<sup>+</sup>→Ti ( $\mu \approx 1,23$ ), K<sup>+</sup>→V ( $\mu \approx 1,30$ ), K<sup>+</sup>→Cr ( $\mu \approx 1,33$ ) в интервале начальных энергий  $E_0 = 80 \div 500$  эВ при температуре мишени  $T = 0,8T_{\text{пл}}$ .

$p = 10^{-8} \div 10^{-7}$  Тор при температуре  $T \approx 0,7 \div 0,8T_{\text{пл}}$  (плавления). В режиме измерения для нагрева мишени использовалась импульсная электронная бомбардировка, а регистрация спектров проводилась при отсутствии ускоряющего импульса электронной бомбардировки. Падающий и рассеянный пучки лежали в одной плоскости с нормалью, восстановленной к поверхности мишени в точке падения. Спектры регистрировались в режиме счета с использованием многоканального анализатора импульсов, затем обрабатывались на ЭВМ для процедуры сглаживания [4].

**Результаты и их обсуждение.** Экспериментально исследовано рассеяние ионов на поликристаллических мишениях Cs<sup>+</sup> на Ta, W, Re и ионов K<sup>+</sup> на Ti, V, Cr. Углы падения  $\psi = 55^\circ$  и рассеяния  $\theta = 70^\circ$  соответствовали условию зеркального отражения. На рис. 1 представлены измеренные дифференциальные энергетические спектры рассеянных ионов для пар Cs<sup>+</sup>→Ta ( $\mu \approx 1,36$ ), Cs<sup>+</sup>→W ( $\mu \approx 1,38$ ), Cs<sup>+</sup>→Re ( $\mu = 1,40$ ) и K<sup>+</sup>→Ti ( $\mu \approx 1,23$ ), K<sup>+</sup>→V ( $\mu \approx 1,30$ ), K<sup>+</sup>→Cr ( $\mu \approx 1,33$ ) в интервале начальных энергий  $E_0 = 80 \div 500$  эВ при температуре мишени  $T = 0,8T_{\text{пл}}$ .

Видно, что форма спектров во всех случаях подобна, характеризуется пиком в области низких энергий. При уменьшении  $E_0$  положения максимумов спектров для всех мишени смешаются в сторону сохранения большей относительной энергии. Заметим, что менее всего сдвиг максимумов проявляется в случае рассеяния ионов цезия на вольфраме, а также в случае рассеяния ионов калия на ванадии.

Известно, что в случае парных упругих столкновений энергия, сохраняемая рассеянным ионом, при заданном угле рассеяния зависит от соотношения масс сталкивающихся частиц и положение максимумов энергетических спектров должно оставаться постоянным, а само положение



**Рис. 1.** Дифференциальные спектры рассеяния ионов  $\text{Cs}^+$  и  $\text{K}^+$  на соответствующих поликристаллических мишениях при  $E_0(\text{эВ}) = 1-500, 2-400, 3-200, 4-100, 5-80$ . Штриховая линия-расчет по формуле (1)

максимумов можно определить приближенно по формуле

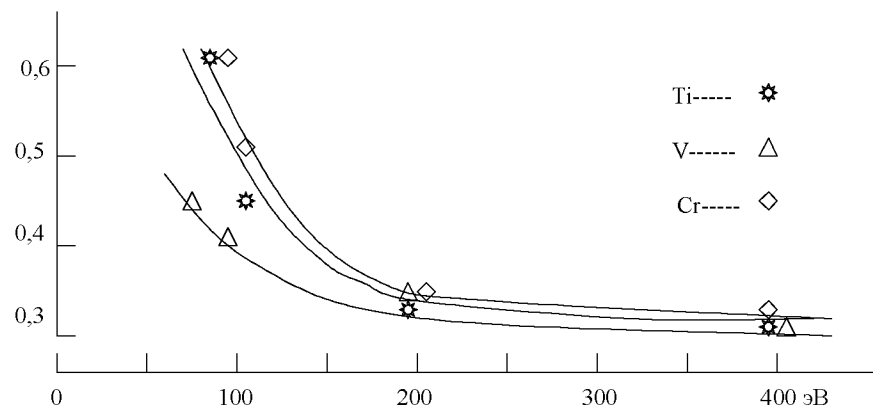
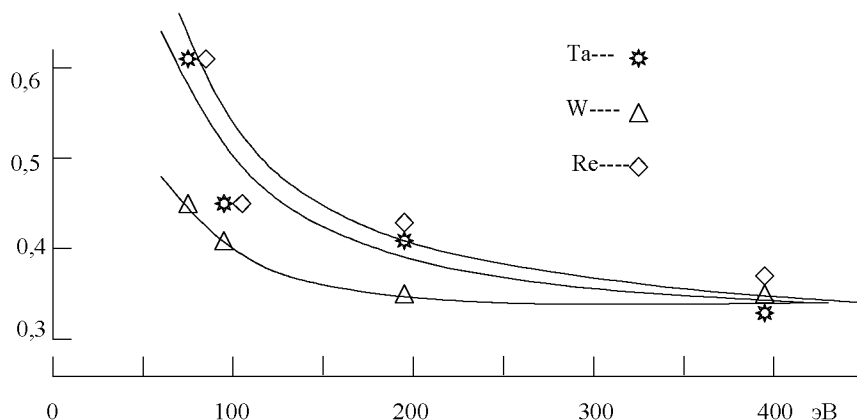
$$E = E_0 * \{ [\cos\theta \pm \sqrt{(m_2/m_1)^2 - \sin^2\theta}] / [1+m_2/m_1] \}^2, \quad (1)$$

где  $E$  – энергия рассеянных частиц;  $E_0$  – энергия первичных ионов;  $\theta$  – угол рассеяния. На рис. 1 можно наблюдать сдвиг максимумов от расчетного положения. Расчеты проведены для  $\mu=1,3$  при однократном рассеянии. Сравнение энергий связи атомов этих мишеней показывает, что наибольшими значениями энергий связи в первой тройке мишеней обладают атомы вольфрама W ( $E_{cb}=8,66 \text{ эВ}$ ), во второй тройке мишеней – атомы ванадия V ( $E_{cb}=5,3 \text{ эВ}$ ). Как отмечено ранее, именно для этих пар наблюдается наименьший сдвиг положений максимумов в спектрах относительно положений, рассчитанных по формуле (1).

Отметим, что в первой тройке энергия связи атомов мишени для Ta ( $E_{cb}=8,089 \text{ эВ}$ ), для Re ( $E_{cb}=8,10 \text{ эВ}$ ). Аналогично во второй тройке для Ti ( $E_{cb}=4,86 \text{ эВ}$ ), для Cr ( $E_{cb}=4,10 \text{ эВ}$ ). Таким образом, мы наблюдаем, что сдвиг максимумов зависит от энергии связи атомов мишеней.

На рис. 2 и 3 представлены зависимости относительной энергии, сохраняемой рассеянными ионами  $E_m/E_0$  в максимуме кривой распределения по энергиям ионов  $\text{Cs}^+$ , рассеянных поликристаллами Ta, W, Re и ионов  $\text{K}^+$ , рассеянных поликристаллическими Ti, V, Cr, от начальной энергии налетающих ионов. Видно, что кривые зависимостей доли энергии, сохраняемой рассеянными ионами, от начальной энергии имеют один и тот же вид. Отметим, что во всем исследованном интервале первичных энергий  $E_0$  наблюдается существенный рост относительной энергии  $E_m/E_0$

**Рис. 2.** Зависимости относительной энергии, сохраняемой рассеянными ионами, в максимуме энергетического распределения от начальной энергии налетающих ионов  $\text{Cs}^+$



**Рис. 3.** Зависимости относительной энергии, сохраняемой рассеянными ионами, в максимуме энергетического распределения от начальной энергии налетающих ионов  $\text{K}^+$

( $E_m$  – энергия рассеянных ионов в максимуме энергетического распределения) с уменьшением  $E_0$ .

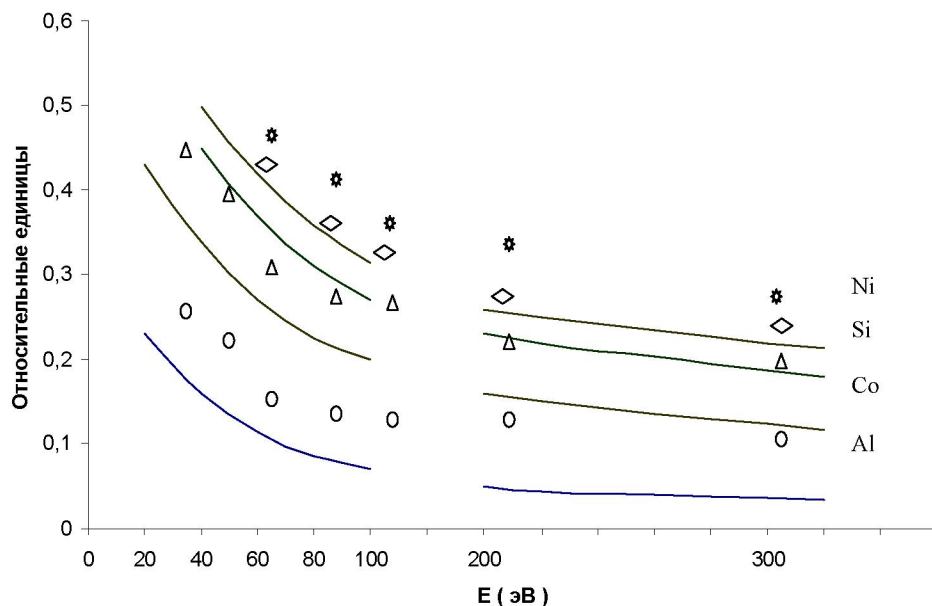
При этом кривые для мишеней с близкими значениями  $E_{cb}$  практически совпадают. Заметим также, что ниже всех расположены кривые для ванадия и вольфрама, у которых, как отмечалось, наибольшие значения энергий связи атомов. Для них также наблюдается более пологий рост относительной энергии. Рост  $E_m/E_0$  с уменьшением  $E_0$  совпадение кривых для Та и Re в отличие от рассеяния на W, соответственно сходство кривых для Ti и Cr в отличие от V свидетельствуют о влиянии энергии связи атомов мишени на процесс рассеяния, что говорит, по нашему мнению, о непарном характере взаимодействия низкоэнергетических ионов  $\text{Cs}^+$  и  $\text{K}^+$  при рассеянии на исследованных мишенях, для которых  $\mu > 1$ .

Ранее нами было показано [5], что при рассеянии медленных ионов на мишенях с массами атомов, меньшими массами бомбардирующих ионов, когда  $\mu < 1$ , при углах падения  $\phi = 45^\circ$  и рассеяния  $\psi = 90^\circ$ , также соответствующих углу зеркального отражения, наблюдалась аналогичная картина.

Дифференциальные спектры рассеяния ионов цезия на алюминии, кремни, кобальте и никеле

имели также куполообразную форму и, максимумы кривых претерпевали сдвиг в сторону больших энергий по мере уменьшения энергии первичных ионов. Но в отличие от результатов рассеяния на мишенях с  $\mu > 1$ , представленных в настоящей работе, наибольший сдвиг наблюдался при рассеянии на мишенях с наименьшими энергиями связи атомов мишеней.

На рис. 4 представлены зависимости относительной энергии, сохраняемой рассеянными ионами  $E_m/E_0$  в максимуме кривой распределения по энергиям ионов  $\text{Cs}^+$ , рассеянных соответственно для пар  $\text{Cs}^+ \rightarrow \text{Al}$  ( $\mu \approx 0,20$ ),  $\text{Cs}^+ \rightarrow \text{Si}$  ( $\mu \approx 0,21$ ),  $\text{Cs}^+ \rightarrow \text{Co}$  ( $\mu \approx 0,44$ ) и  $\text{Cs}^+ \rightarrow \text{Ni}$  ( $\mu = 0,44$ ). Энергии связи атомов для алюминия  $E_{cb} = 3,34$  эВ/атом, кобальта  $E_{cb} = 4,387$  эВ/атом, никеля  $E_{cb} = 4,435$  эВ/атом, кремния  $E_{cb} = 4,64$  эВ/атом. Отметим, что в этом случае зависимости также имеют характерный вид, доля сохраняемой энергии в максимумах энергетических распределений увеличивается с уменьшением  $E_0$ , причем кривая для алюминия с наименьшим значением энергии связи атомов мишени расположена ниже всех, т. е. доля сохраняемой при рассеянии энергии при этом наименьшая.



**Рис. 4.** Зависимости относительной энергии, сохраняемой рассеянными ионами  $E/E_0$ , в максимуме энергетических распределений ионов  $Cs^+$ , рассеянных поверхностями алюминия, кобальта, никеля и кремния, от начальной энергии

Сопоставление кривых (рис. 2–4) показывает, что при рассеянии медленных ионов наблюдается корреляция между энергией связи атомов мишений и долей сохраняемой ионами энергии в максимумах энергетических распределений. Причем эта корреляция наблюдается как при рассеянии на мишених с  $\mu < 1$ , так и при  $\mu > 1$ . В то же время мы видим, что при рассеянии медленных ионов на мишених с малой атомной массой ( $\mu < 1$ ) доля сохраняемой энергии наименьшая на мишених с наименьшим значением энергии связи, а на мишених с близкими к массе ионов атомными массами ( $\mu > 1$ ) эта ситуация наблюдается на мишених с наибольшим значением энергии связи. Кривые располагаются друг над другом, соответственно энергиям связи атомов мишений, что говорит о влиянии энергии связи атомов мишений на процесс рассеяния.

Таким образом, обнаруженная корреляция между относительной энергией, сохраняемой рассеянными ионами, и энергией связи атомов мишений указывает, по нашему мнению, на многочастичный (групповой) характер взаимодействия, т.е. на взаимодействие налетающего иона одновременно с несколькими связанными между собой атомами поверхности. Из полученных результатов следует, что механизмы многочастичного (группового) взаимодействия должны быть различными для случаев прямого и обратного соотношения масс сталкивающихся частиц. Для объяснения полученных результатов необходимо проведение компьютерного моделирования процесса рассеяния низкоэнергетических ионов на

поликристаллических поверхностях как в приближении парных столкновений, так и с учетом энергии связи атомов мишений.

#### ЛИТЕРАТУРА

1. Mashkova E.S., Molchanov V.A. Medium Energy Ion Reflection from Solids, North-Holland, Amsterdam, 1985.
2. Parilis E.S., Kishinevsky L.M., Turaev N.Yu. et al. Atomic Collisions on Solid Surfaces, North-Holland, Amsterdam, 1993.
3. Машкова Е.С., Молчанов В.А. Применение рассеяния ионов для анализа твёрдых тел. М.: Энергоатомиздат, 1995.
4. Евстифьев В.В., Крылов Н.М., Кудряшова Л.Б. Поверхность // Физика, химия, механика. 1992. № 5. С. 24.
5. Umarov F.F., Bazarbaev N.N., Kudryashova L.B., Krylov N.M. // Nucl. Instr. & Meth. Phys. Res. 2002. B 196. P. 155.

#### Резюме

Төмөнгі энергиядағы ( $E_0 = 30\text{--}500$  eV)  $Cs^+$  иондарының Ta, W, Re поликристалдарымен, ал  $K^+$  иондарының Ti, V, Cr поликристалдарымен әсерлесүү нәтижесін эксперименталдық түрде талдай отырып, олардың шашырату механизмін анықтап, оны металдардың беттік қабатының қасиеттерін зерттеу үшін қолдану мүселеесі қарастырылады.

#### Summary

The interaction of low-energy ions with solid surfaces has recently drawn considerable interest. This interest is defined by both the development of methods of diagnostics with use of ion beams, technology of ion-plasma deposition, ion beam epitaxy, ion implantation, and by necessity of full understanding of the mechanisms of the phenomena that follow the interaction of atomic particles with the solid surface.

<sup>1</sup>Казахстанско-Британский технический университет;

<sup>2</sup>Казахский национальный университет им. аль-Фараби;

<sup>3</sup>Казахский национальный педагогический университет им. Абая  
Поступила 9.02.07г.